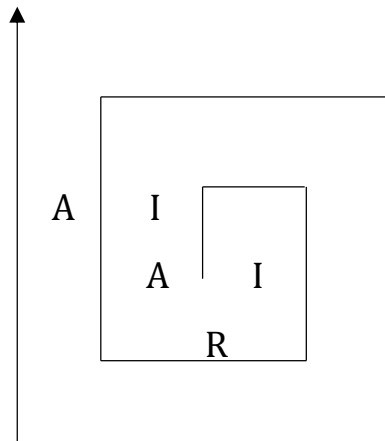


Prof. Dr. Alfred Toth

Treppenraum von Spiegel-Diamonds

1. Zu den Eigenschaften von Spiegel-Diamonds (vgl. Toth 2025a-c) gehört das Oszillieren zwischen A und I, I und A diesseits und jenseits der Kontexturgrenze des Randes R der Randrelation R*:



Wir haben also

$$\begin{array}{cccc}
 \vdots & & \vdots & & \vdots & & \vdots \\
 A R I & & A R I & & 2 1 3 & & 2 1 3 \\
 | & & | & & | & & | \\
 A R I & A R I & = & & 2 1 3 & 2 1 3 \\
 | & | & & & | & | \\
 A R I & & & & 2 1 3 & &
 \end{array}$$

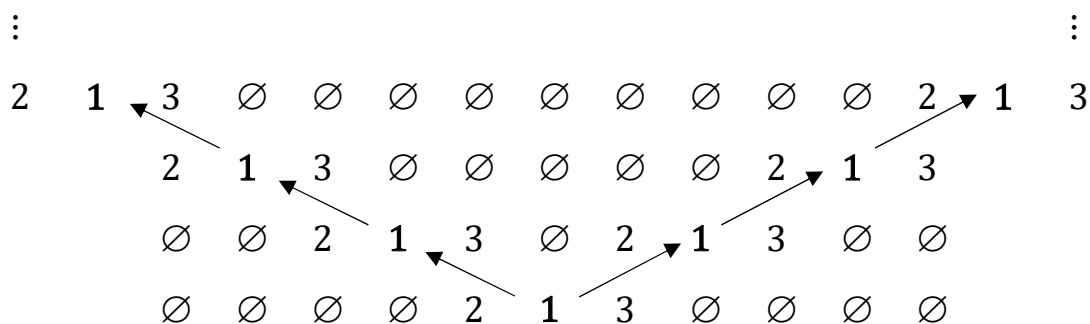
Vgl. zur Vorstellung einen Gang von links/rechts nach rechts/links durch den Korridor als Rand bei sog. Zimmerfluchten.



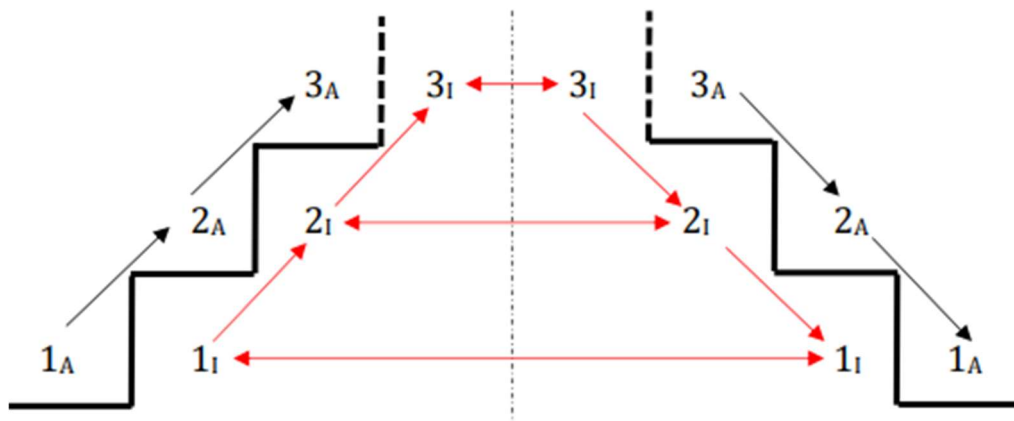
2. Als gestuftes Zeichenfeld hatten wir in Toth (2025d) das folgende Modell bestimmt

1	2	3
1	2	∅
1	∅	∅

Mit R als transversaler/transjazer Achse und Matching Points in nur 1 Kategorie pro Stufe (d.h. nicht 1, 2, 3 wie im obigen Z-Zahlenfeld) bekommen wir als Zahlenfeld von Spiegel-Diamonds:



Vgl. damit den hierarchischen Stufenbau der Abbildungen der sog. Spiegelzahlen (Toth 2025e).



Literatur

Toth, Alfred, Eine orthogonale Matrix. In: Electronic Journal for Mathematical Semiotics, 2025a

Toth, Alfred, Semiotische Spiegel-Diamonds. In: Electronic Journal for Mathematical Semiotics, 2025b

Toth, Alfred, Metaumgebungen von Spiegel-Diamonds. In: Electronic Journal for Mathematical Semiotics, 2025c

Toth, Alfred, Die semiotische Treppe. In: Electronic Journal for Mathematical Semiotics, 2025d

Toth, Alfred, Spiegelabbildungen. In: Electronic Journal for Mathematical Semiotics, 2025e

28.5.2025